

**1DR2243:A - Teoria i metody optymalizacji, ćw.
Zadanie dualne. Lokalizacja źródła sygnału**

(opracował Maciej Twardy, ostatnia modyfikacja 30 października 2018)

Zadanie (literatura: [1, 2], opracowano na podstawie zadania 4.4 *Source localization from range measurements* z [2])

Sygnał emitowany przez źródło o nieznanym położeniu $\mathbf{x} \in \mathbb{R}^n$ ($n = 2, n = 3$) jest odbierany przez m sensorów, których położenia (znane) są dane przez wektory $\mathbf{y}_1, \dots, \mathbf{y}_m \in \mathbb{R}^n$. Na podstawie siły mierzonego sygnału, można otrzymać zaszumione estymaty d_k ($k = 1, \dots, m$) odległości $\|\mathbf{x} - \mathbf{y}_k\|$ sensorów od źródła. Chcemy oszacować położenie źródła na podstawie osztymat odległości d_k ($k = 1, \dots, m$), rozwiązując zadanie minimalizacji

$$\underset{\mathbf{x} \in \mathbb{R}^n}{\text{minimize}} \quad f_0(\mathbf{x}) = \sum_{k=1}^m \left(\|\mathbf{x} - \mathbf{y}_k\|^2 - d_k^2 \right)^2 \quad (1)$$

Wprowadzając dodatkową zmienną $t = \mathbf{x}^T \mathbf{x}$ możemy napisać (1) równoważnie

$$\begin{aligned} \underset{t \in \mathbb{R}, \mathbf{x} \in \mathbb{R}^n}{\text{minimize}} \quad & \sum_{k=1}^m \left(t - 2\mathbf{y}_k^T \mathbf{x} + \|\mathbf{y}_k\|^2 - d_k^2 \right)^2 \\ \text{subject to} \quad & \mathbf{x}^T \mathbf{x} - t = 0 \end{aligned} \quad (2)$$

Zadanie (2) nie jest wypukłe, ale w rozpatrywanym przypadku zachodzi silna dualność (więcej szczegółów na ten temat w [1], str. 229). Rozwiązać (2) dla $n = 2, m = 5$ oraz

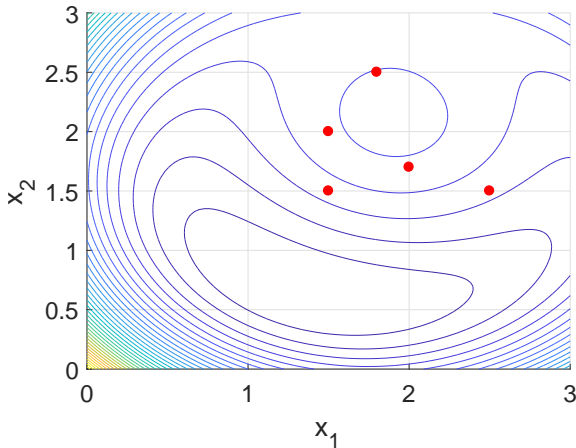
$$\mathbf{y}_1 = \begin{bmatrix} 1.8 \\ 2.5 \end{bmatrix}, \quad \mathbf{y}_2 = \begin{bmatrix} 2.0 \\ 1.7 \end{bmatrix}, \quad \mathbf{y}_3 = \begin{bmatrix} 1.5 \\ 1.5 \end{bmatrix},$$

$$\mathbf{y}_4 = \begin{bmatrix} 1.5 \\ 2.0 \end{bmatrix}, \quad \mathbf{y}_5 = \begin{bmatrix} 2.5 \\ 1.5 \end{bmatrix}$$

oraz

$$d_1 = 2.00, \quad d_2 = 1.24, \quad d_3 = 0.59, \quad d_4 = 1.31, \quad d_5 = 1.44.$$

Poniższy rysunek przedstawia poziomice funkcji f_0 oraz położenia sensorów.



Rys. 1 Lokalizacja sensorów i poziomice funkcji f_0 z (1)

Zadanie (1) nie jest wypukłe, jednak zachodzi dla niego silna dualność [1]. Wprowadźmy oznaczenia

$$\mathbf{A} = \begin{bmatrix} -2\mathbf{y}_1^T & 1 \\ -2\mathbf{y}_2^T & 1 \\ -2\mathbf{y}_3^T & 1 \\ -2\mathbf{y}_4^T & 1 \\ -2\mathbf{y}_5^T & 1 \end{bmatrix}, \quad \mathbf{b} = \begin{bmatrix} d_1^2 - \|\mathbf{y}_1\|^2 \\ d_2^2 - \|\mathbf{y}_2\|^2 \\ d_3^2 - \|\mathbf{y}_3\|^2 \\ d_4^2 - \|\mathbf{y}_4\|^2 \\ d_5^2 - \|\mathbf{y}_5\|^2 \end{bmatrix},$$

$$\mathbf{Q} = \begin{bmatrix} 1 & 0 & 0 \\ 0 & 1 & 0 \\ 0 & 0 & 0 \end{bmatrix}, \quad \mathbf{c} = \begin{bmatrix} 0 \\ 0 \\ -1/2 \end{bmatrix}, \quad \mathbf{z} = \begin{bmatrix} x_1 \\ x_2 \\ t \end{bmatrix}$$

Wówczas zadanie (2) można napisać w równoważnej postaci

$$\begin{aligned} \underset{\mathbf{z} \in \mathbb{R}^{n+1}}{\text{minimize}} \quad & \|\mathbf{A}\mathbf{z} - \mathbf{b}\|^2 \\ \text{subject to} \quad & \mathbf{z}^T \mathbf{Q} \mathbf{z} + \mathbf{c}^T \mathbf{z} = 0 \end{aligned} \quad (3)$$

Lagranżjan dla zadania (3)

$$L(\mathbf{z}, \mu) = \mathbf{z}^T (\mathbf{A}^T \mathbf{A} + \mu \mathbf{Q}) \mathbf{z} - 2(\mathbf{A}^T \mathbf{b} - \mu \mathbf{c})^T \mathbf{z} + \|\mathbf{b}\|^2 \quad (4)$$

Lagranżjan (4) jest ograniczony z dołu względem \mathbf{z} wtedy i tylko wtedy gdy

$$\mathbf{A}^T \mathbf{A} + \mu \mathbf{Q} \succeq 0, \quad (\mathbf{A}^T \mathbf{b} - \mu \mathbf{c}) \in \mathcal{R}(\mathbf{A}^T \mathbf{A} + \mu \mathbf{Q})$$

zatem funkcja dualna Lagrange'a

$$\begin{aligned} g(\mu) &= \inf_{\mathbf{z}} L(\mathbf{z}, \mu) \\ &= -(\mathbf{A}^T \mathbf{b} - \mu \mathbf{c})^T (\mathbf{A}^T \mathbf{A} + \mu \mathbf{Q})^\dagger (\mathbf{A}^T \mathbf{b} - \mu \mathbf{c}) + \|\mathbf{b}\|^2 \end{aligned}$$

jest określona na zbiorze

$$\Omega = \{\mu \in \mathbb{R} \mid \mathbf{A}^T \mathbf{A} + \mu \mathbf{Q} \succeq 0, (\mathbf{A}^T \mathbf{b} - \mu \mathbf{c}) \in \mathcal{R}(\mathbf{A}^T \mathbf{A} + \mu \mathbf{Q})\}$$

Zadanie dualne

$$\begin{aligned} \underset{\mu \in \mathbb{R}}{\text{maximize}} \quad & g(\mu) \\ \text{subject to} \quad & \mathbf{A}^T \mathbf{A} + \mu \mathbf{Q} \succeq 0 \\ & (\mathbf{A}^T \mathbf{b} - \mu \mathbf{c}) \in \mathcal{R}(\mathbf{A}^T \mathbf{A} + \mu \mathbf{Q}) \end{aligned} \quad (5)$$

jest równoważne zadaniu

$$\begin{aligned} \underset{\mu \in \mathbb{R}}{\text{minimize}} \quad & -g(\mu) \\ \text{subject to} \quad & \mathbf{A}^T \mathbf{A} + \mu \mathbf{Q} \succeq 0 \\ & (\mathbf{A}^T \mathbf{b} - \mu \mathbf{c}) \in \mathcal{R}(\mathbf{A}^T \mathbf{A} + \mu \mathbf{Q}) \end{aligned}$$

które jest równoważne zadaniu

$$\begin{aligned} \underset{\mu \in \mathbb{R}}{\text{minimize}} \quad & (\mathbf{A}^T \mathbf{b} - \mu \mathbf{c})^T (\mathbf{A}^T \mathbf{A} + \mu \mathbf{Q})^\dagger (\mathbf{A}^T \mathbf{b} - \mu \mathbf{c}) - \|\mathbf{b}\|^2 \\ \text{subject to} \quad & \mathbf{A}^T \mathbf{A} + \mu \mathbf{Q} \succeq 0 \\ & (\mathbf{A}^T \mathbf{b} - \mu \mathbf{c}) \in \mathcal{R}(\mathbf{A}^T \mathbf{A} + \mu \mathbf{Q}) \end{aligned}$$

które jest równoważne zadaniu

$$\begin{aligned} \underset{\mu \in \mathbb{R}, t \in \mathbb{R}}{\text{minimize}} \quad & t - \|\mathbf{b}\|^2 \\ \text{subject to} \quad & \begin{bmatrix} \mathbf{A}^T \mathbf{A} + \mu \mathbf{Q} & \mathbf{A}^T \mathbf{b} - \mu \mathbf{c} \\ (\mathbf{A}^T \mathbf{b} - \mu \mathbf{c})^T & t \end{bmatrix} \succeq 0 \\ & (\mathbf{A}^T \mathbf{b} - \mu \mathbf{c}) \in \mathcal{R}(\mathbf{A}^T \mathbf{A} + \mu \mathbf{Q}) \end{aligned} \quad (6)$$

Zauważmy, że zależność

$$(\mathbf{A}^T \mathbf{b} - \mu \mathbf{c}) \in \mathcal{R}(\mathbf{A}^T \mathbf{A} + \mu \mathbf{Q})$$

wynika z jednego z warunków KKT, tzn. z warunku

$$\nabla_z L(\mathbf{z}, \mu) = 0$$

czyli

$$(\mathbf{A}^T \mathbf{A} + \mu \mathbf{Q}) \mathbf{z} = \mathbf{A}^T \mathbf{b} - \mu \mathbf{c} \quad (7)$$

Można zatem spróbować rozwiązać zadanie (6) rozwiązując najpierw zadanie

$$\begin{aligned} & \underset{\mu \in \mathbb{R}, t \in \mathbb{R}}{\text{minimize}} && t - \|\mathbf{b}\|^2 \\ & \text{subject to} && \begin{bmatrix} \mathbf{A}^T \mathbf{A} + \mu \mathbf{Q} & \mathbf{A}^T \mathbf{b} - \mu \mathbf{c} \\ (\mathbf{A}^T \mathbf{b} - \mu \mathbf{c})^T & t \end{bmatrix} \succeq 0 \end{aligned} \quad (8)$$

a następnie dla wyznaczonej wartości μ^* rozwiązać równanie (7) tzn.

$$(\mathbf{A}^T \mathbf{A} + \mu^* \mathbf{Q}) \mathbf{z} = \mathbf{A}^T \mathbf{b} - \mu^* \mathbf{c}$$

Jeżeli dla znalezionej wartości \mathbf{z}^* zachodzi

$$\|(\mathbf{A}^T \mathbf{A} + \mu^* \mathbf{Q}) \mathbf{z}^* - \mathbf{A}^T \mathbf{b} - \mu^* \mathbf{c}\| = 0$$

to warunek

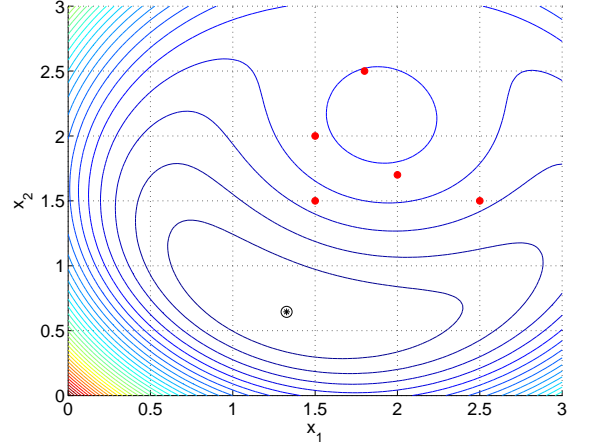
$$(\mathbf{A}^T \mathbf{b} - \mu \mathbf{c}) \in \mathcal{R}(\mathbf{A}^T \mathbf{A} + \mu \mathbf{Q})$$

jest spełniony.

Należy wygenerować wykres poziomu funkcji celu wraz z zaznaczonymi położeniami sensorów (tak jak przedstawia to Rys. 1), można skorzystać w tym celu z funkcji `contour`. Zadanie (8) można rozwiązać korzystając z pakietu `CVX`, pracując w tzw. trybie SDP (ang. *semidefinite programming*) [3]. Należy następnie wygenerować wykres poziomów funkcji celu wraz z zaznaczonymi położeniami sensorów

oraz wyznaczonym położeniem źródła (tak jak przedstawia to Rys. 2).

(Rozwiązanie: $\mathbf{x}^* = [1.33, 0.64]^T$)



Rys. 2 Lokalizacja sensorów i źródła sygnału oraz poziomic funkcji f_0 z (1)

Literatura

- [1] Stephen Boyd and Lieven Vandenberghe. *Convex Optimization*. Cambridge University Press, New York, NY, USA, 2004. <http://web.stanford.edu/~boyd/cvxbook/> [Online; accessed 19.02.2016].
- [2] Stephen Boyd and Lieven Vandenberghe. *Additional Exercises for Convex Optimization*. 2004. <http://web.stanford.edu/~boyd/cvxbook/> [Online; accessed 19.02.2016].
- [3] Michael C. Grant and Stephen P. Boyd. *The CVX Users' Guide*. CVX Research, Inc., 2015. <http://web.cvxr.com/cvx/doc/CVX.pdf> [Online; accessed 06.03.2016].